

徳島大学工学部 正員 ○兒嶋弘行

名古屋大学工学部 正員 成岡昌夫

1 はしがき

鉛直荷重によって、主構の格点に橋軸方向の水平変位を生じる、トレスとか、アーチ系の構架における床組は、單に、格子構造として主構の鉛直変位に抵抗する（以下、鉛直荷重配合作用とよぶ）だけではなく、橋軸方向の水平変位にも抵抗して（以下、水平荷重配合作用とよぶ）、載荷弦と協力的に働く。この鉛直荷重配合作用は、格子桁におけると同様の効果を示し、他の構架形式にも共通のものであるが、水平荷重配合作用は、上記の構架形式に特有のものであり、主構の載荷弦の軸力を有効に減少させる効果がある。たとえば、トレス橋においては、水平荷重配合作用の結果、一般に 10～20%，特別な場合には 20～40% の強度軸力の減少が認められたことが報告されており、筆者らの研究からも、ほゞ同様の結果が得られている。一方、鉛直吊弦をもつた通常のアーチ系の構架においては、この効果はトレス橋におけるほど顕著ではなく、筆者らのランガーハンガー橋においては、最大約 10% の補剛桁の軸力の減少が認められた。このことは、鉛直吊弦をもつアーチ系の構架においては、鉛直荷重による主構の格点の水平変位の鉛直変位に対する割合が、トレス橋におけるほど大きくなりことが、一つの原因と考えられる。そこで、筆者らは、トレス橋と通常のアーチ系の構架との中间的な力学的構成様式をもつトレスド・ランガーハンガー橋を対象として、上述の鉛直、および水平荷重配合作用について検討を行なってみたので、その結果をここに報告する。

2 対象としたトレスド・ランガーハンガー橋の諸元

解析の対象としたトレスド・ランガーハンガー橋の主構、および、床組の骨組図は、図-1 に示したとおりであり、各部材の断面の諸性質は表-1 に示したように仮定する。表-1 において、主構に関する部材は、わが国最初のトレスド・ランガーハンガー橋である阿保橋の断面を参考にして定め

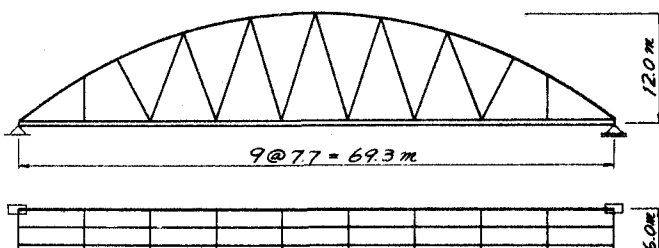


図-1 主構と床組の骨組図

、床組に関するものは、簡単のため縦桁を 2 本とした場合について、通常の設計法によって定めたものである。

3 解法の概要

解析を容易にするため、以下の仮定を設ける。i) 上横構の影響は無視する。ii) 床組は、縦桁と横桁とからなる直角格子構造とみなす。iii) 端横構の鉛直方向の変位は無視する。iv) 横桁は水平方向の曲げにも抵抗できる。v) 横桁とトレスド・ランガーハンガー橋の格点とはピンで結合させているものとする。vi) 縦、横桁の振り剛性は無視する。

表-1 部材の諸性質

部材	諸性質	I (cm^4)	F (cm^2)
上弦材	80	—	—
吊材	24	—	—
下弦材	240	900000	—
縦桁	112	86694	—
横桁	142.4	196122 2861	—

以上の仮定のもとに、主構と床組とを横筋端において切断して得られる図-2のような基本系を考えると、切断点に作用させねばならない不静定力は、図-2に示したように、鉛直不静定力 X が 16 個、水平不静定力 H が 18 個となり、切断点における変形量の連続条件から弾性方程式を立てると、式-(1) に示したようだ、 34 元連立方程式が得られる。

$$\left. \begin{aligned} S_{1 \cdot 1} X_1 + \cdots + S_{1 \cdot 16} X_{8'} + S_{1 \cdot 17} H_1 + \cdots + S_{1 \cdot 34} H_{9'} &= S_{1 \cdot 0} \\ \vdots & \quad \vdots \\ S_{16 \cdot 1} X_1 + \cdots + S_{16 \cdot 16} X_{8'} + S_{16 \cdot 17} H_1 + \cdots + S_{16 \cdot 34} H_{9'} &= S_{16 \cdot 0} \\ S_{17 \cdot 1} X_1 + \cdots + S_{17 \cdot 16} X_{8'} + S_{17 \cdot 17} H_1 + \cdots + S_{17 \cdot 34} H_{9'} - S_{17 \cdot 0} &= 0 \\ \vdots & \quad \vdots \\ S_{34 \cdot 1} X_1 + \cdots + S_{34 \cdot 16} X_{8'} + S_{34 \cdot 17} H_1 + \cdots + S_{34 \cdot 34} H_{9'} - S_{34 \cdot 0} &= 0 \end{aligned} \right\} \quad (1)$$

式-(1) の左辺の係数 S_{ij} は、不静定力 $X - 1$, $H - 1$ による基本系の切断点の変形量から計算され、右辺の荷重項 $S_{i \cdot 0}$ は、外荷重による床組の切断点の鉛直方向の変形量であり、これらの計算には、電子計算機を利用した。なお、式-(1) の右辺において、 $S_{17 \cdot 0} \sim S_{34 \cdot 0} = 0$ であるのは、鉛直荷重による床組の水平変位が 0 となるためである。式-(1) を解けば、不静定力が求まり、この不静定力 X 、および、 H が、そのまま、鉛直、および、水平荷重配分効果を意味する。ただ、この 34 元連立方程式を直接解くことは、電子計算機を用いるとしてもかなりの時間を要するので、

筆者らは、トラス橋、および、ランガーブリッジについて解析した際の経験を生かして、以下のようにした。

すなわち、式-(1) を直接解かないで、これを式-(2) の形であらわし、まず、 $\Delta_{1 \cdot 2} = 0$ とおいて 16 元連立

方程式を解いて X を求め、ついで、この X を主構に作用させた場合の主構の下弦格架の水平変位を計算して、これを、 $\Delta_{2 \cdot 1} = 0$ とした式(2)の荷重項と考えて、18 元連立方程式を解いて H を求めることである。この場合の解と、式-(1) の厳密解とはよい近似を示し、その差は高々 1 ~ 2 % である。

4 むすび

上述の解法にしたがって、2 に示したトラスド・ランガーブリッジについて数値計算を行なった結果と、通常の設計法算法における同様の計算によって得られた結果といつて、主構の各部材の断面力を比較した結果、本計算例においては、以下のようなことがわかった。すなわち、a) 鉛直荷重配分効果はほとんど認められなかった。b) 水平荷重配合作用の結果、支間中央附近で約 15 % の補剛桁の軸力の減少が認められた。c) 補剛桁の曲げモーメントに対する水平荷重配分効果は一般にさわめて小さい。以上についての補足説明は、講演会当日に行なう予定である。

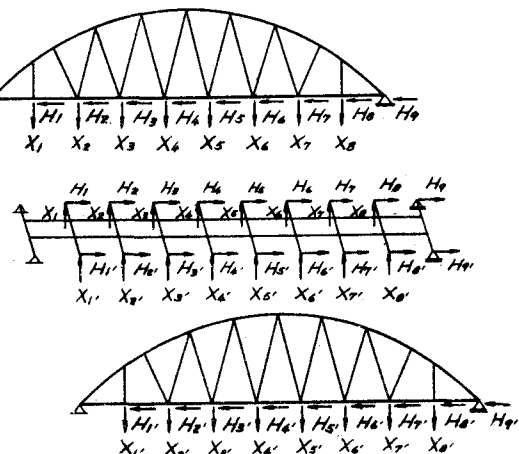


図-2 基本系と不静定力

$$\left. \begin{aligned} \Delta_{1 \cdot 1} X + \Delta_{1 \cdot 2} H &= \Delta_{1 \cdot 0} \\ \Delta_{2 \cdot 1} X + \Delta_{2 \cdot 2} H &= 0 \end{aligned} \right\} \quad (2)$$